



**МИНИСТЕРСТВО ЭКОЛОГИИ И  
ПРИРОДНЫХ РЕСУРСОВ  
РЕСПУБЛИКИ КАЗАХСТАН**

**Республиканское Государственное  
Предприятие «КАЗГИДРОМЕТ»**

**ЭКСПРЕСС МОНИТОРИНГ  
по климату территории Казахстана  
за ЯНВАРЬ 2026 год**

*Аномалии средней месячной температуры воздуха и месячного количества атмосферных осадков на территории Казахстана*

Астана 2026

## АКТУАЛЬНОЕ

- В январе 2026 года средняя месячная температура воздуха характеризовалась **как выше, так и ниже климатической нормы.**
- Атмосферные осадки в январе 2026 года отличились **ниже климатической нормы.**

*Ответственный за выпуск:*

*Ә. Жақып – ведущий научный сотрудник УКИ НИЦ*

*Н. Абдолла – ведущий инженер УКИ НИЦ*

## АНОМАЛИИ СРЕДНЕЙ МЕСЯЧНОЙ ТЕМПЕРАТУРЫ ВОЗДУХА

В годовом ходе средней температуры воздуха по месяцам **январь 2026 года** не отличился резкими аномалиями, превысив климатическую норму на  $+0,74\text{ }^{\circ}\text{C}$ . Подобные значения отклонений от нормы неоднократно отмечались на протяжении всего рассматриваемого периода наблюдений.

В первой половине исследуемого периода (1940 – 1980 гг.) преобладали отрицательные аномалии, нередко превышавшие  $-3\text{ }^{\circ}\text{C}$ , что отражает более холодные климатические условия января в середине XX века.

Начиная с конца 1980-х гг. прослеживается устойчивая тенденция к потеплению, сопровождаемая периодическим чередованием с отрицательными отклонениями. С 2000-х гг. положительные аномалии становятся более частыми и интенсивными.

Представленная иллюстрация наглядно демонстрирует смещение климатической системы Казахстана в сторону более тёплых январских условий и подчёркивает устойчивый характер происходящих изменений, особенно в последние два десятилетия (рис. 1).

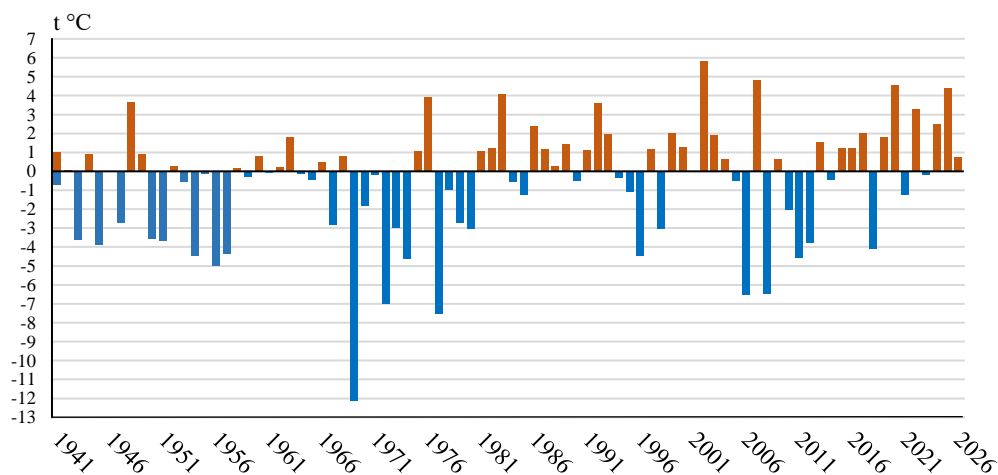
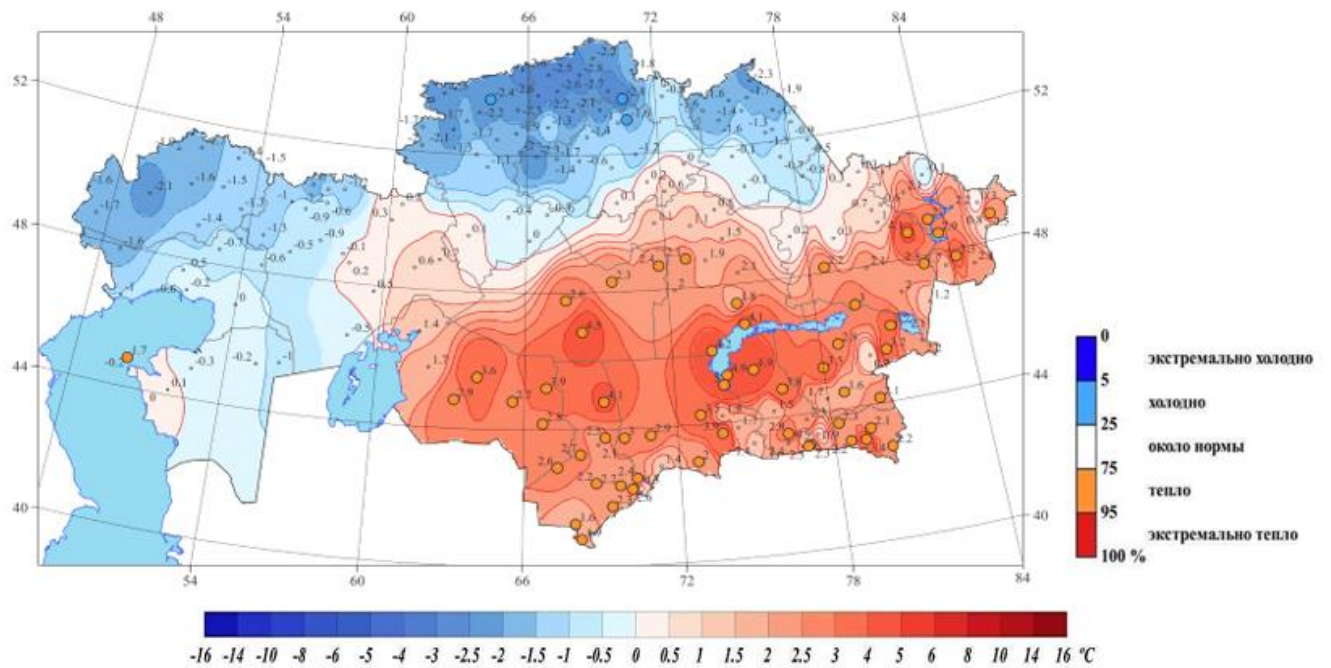


Рисунок 1 – Временные ряды аномалий температур воздуха ( $^{\circ}\text{C}$ ) в январе, осредненных по территории Казахстана за период 1941–2026 гг.

*Аномалии рассчитаны относительно базового периода 1991–2020 гг.*

В январе средняя месячная температура воздуха на территории страны была как выше нормы, так и ниже нормы (рис. 2). Положительные аномалии от  $1,0$  до  $4,9\text{ }^{\circ}\text{C}$  наблюдались в основном в центральных, восточных и южных частях страны. Самые высокие аномалии отмечались на метеостанциях Аул №4 и Куйган ( $4,9\text{ }^{\circ}\text{C}$ ) Алматинской области. Отрицательные аномалии наблюдались в северных и западных областях Казахстана (от  $-1,0$  до  $-2,9\text{ }^{\circ}\text{C}$ ). Самые низкие аномалии отмечались на метеостанциях Явленка и Чкалово Северо-Казахстанской области ( $-2,8\text{ }^{\circ}\text{C}$ ).



*Рисунок 2 – Пространственное распределение аномалий средней месячной температуры воздуха (°C), (отн. норм за период 1991–2020 гг.) и распределение вероятностей превышения температуры воздуха в январе 2026 г. (период 1941–2026 гг.)*

## МЕСЯЧНОЕ КОЛИЧЕСТВО АТМОСФЕРНЫХ ОСАДКОВ

**Январь 2026 г.** в годовом ходе атмосферных осадков после продолжительного четырехлетнего периода положительных аномалий характеризовался количеством осадков ниже климатической нормы и составил  $-4,52$  мм.

В первой половине исследуемого периода (1940–1980 гг.) аномалии атмосферных осадков преимущественно характеризовались отрицательными отклонениями. Начиная с конца 1980-х годов наблюдается смещение распределения аномалий в сторону более частого проявления положительных значений, однако в последующие десятилетия сохраняются отдельные годы с выраженным дефицитом осадков (рис. 3).

Колебания показателя как в сторону отрицательных, так и положительных значений носят устойчивый характер на протяжении всего исследуемого периода.

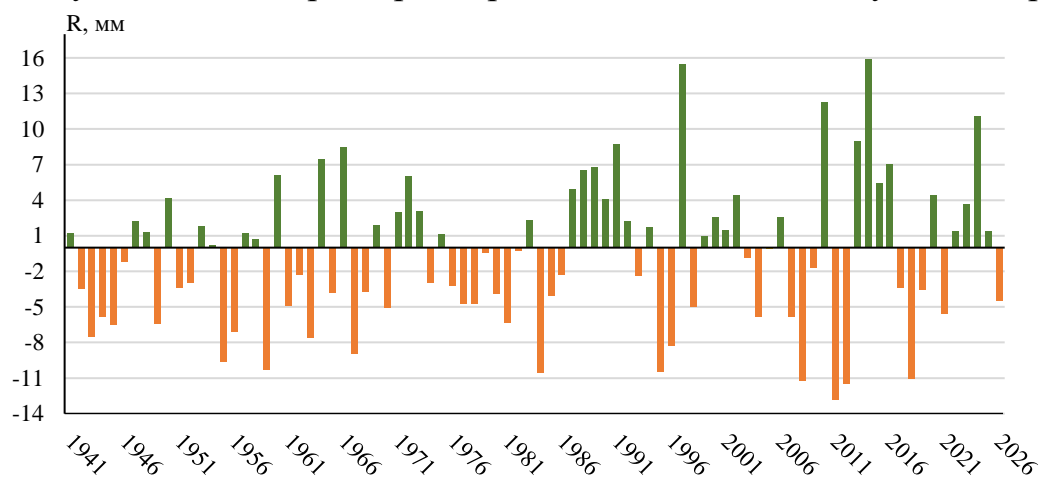


Рисунок 3 – Временные ряды аномалий осадков в январе (%) пространственно осредненных по территории Казахстана за период 1941–2026 гг.

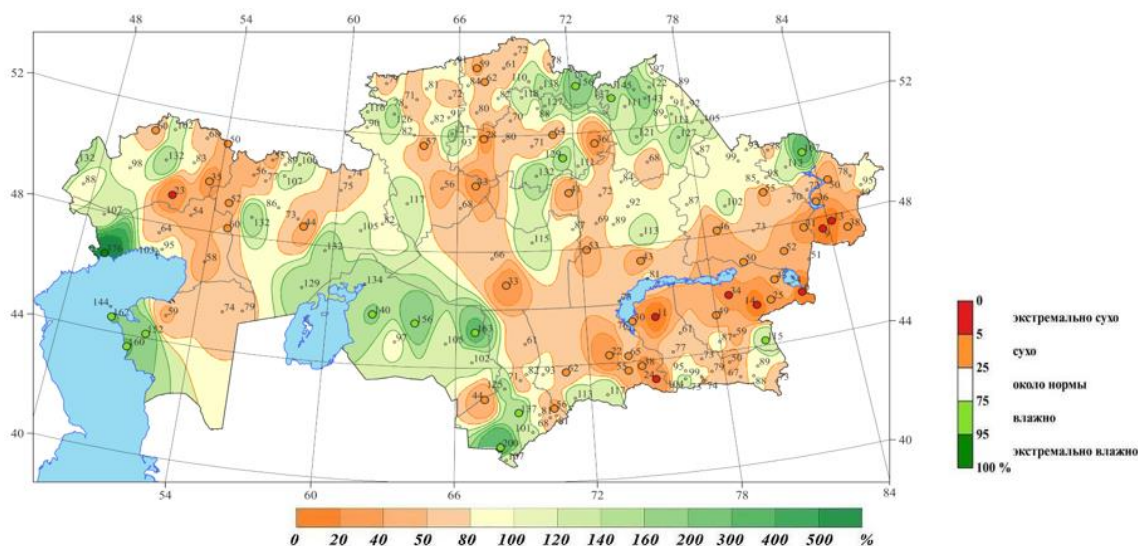
*Аномалии рассчитаны относительно базового периода 1991–2020 гг.*

В годовом разрезе атмосферных осадков по месяцам январь 2026 года отличился неравномерным распределением осадков по территории (рис. 4).

Избыток осадков 120–200 % и более наблюдался в западной и восточной части западно-казахстанского региона. В северной части страны повышенные значения фиксировались на большей части территории Павлодарской и Северо-Казахстанской областей, а также местами в Акмолинской области. Локальные очаги избыточного увлажнения отмечались в центральных районах Карагандинской области и области Ұлытау, на крайнем севере Восточно-Казахстанской области, а также в предгорных районах Алматинской, Жамбылской областей и области

Жетісу. Особенно выраженный избыток осадков наблюдался на юге Туркестанской области и в значительной части Кызылординской области.

Наибольшее количество осадков зарегистрировано на метеостанции Ганюшкино (запад Атырауской области) – 32,3 мм, что составило 376 % от нормы. Данное значение относится к категории «экстремально влажно» с вероятностью непревышения 95–100 %.



*Рисунок 4 – Пространственное распределение количества атмосферных осадков (в % нормы, за период 1991–2020 гг.) и показатели распределения вероятности непревышения количества атмосферных осадков в январе 2026 г.(период 1941–2026 гг.)*

Одновременно в ряде районов страны количество осадков составило менее 80 % нормы, местами – менее 20 % и даже 10 % нормы. Дефицит осадков отмечался в северной и центральной частях западно-казахстанского региона, в северо-западных и южных районах северного региона страны, а также в северных и южных районах Карагандинской области и области Ұлытау. В восточном регионе пониженные значения фиксировались преимущественно в предгорных и горных районах, а также на юге Восточно-Казахстанской области и области Абай. На юге страны (Алматинская, Жамбылская области и область Жетісу) дефицит осадков наблюдался на большей части территории.

По данным 8 метеостанций в южной части Восточно-Казахстанской области, в центральных районах области Жетісу (также в районе озера Алакөл), вблизи озера Балхаш (Алматинская область), а также на юге Жамбылской и Западно-Казахстанской областей осадки в течение месяца отсутствовали, вследствие чего январь в указанных районах вошёл в число 5 % экстремально сухих месяцев.